

УДК 547.541 + 541.65 + 535.333

ИЗУЧЕНИЕ СТРОЕНИЯ И РЕАКЦИОННОЙ СПОСОБНОСТИ АЛКАН-
СУЛЬФОАНИЛИДОВ МЕТОДОМ ИК - СПЕКТРОСКОПИИ

М.П.Стародубцева, Н.П.Бигашева, Д.Г.Скрыпник, Р.В.Визгерт

Донецкий политехнический институт

Поступило 27 июня 1976 г.

1. Измерены ИК - спектры 25 алкансульфоанилидов в четыреххлористом углероде, произведены отнесения полос валентных колебаний сульфонильной и иминогрупп и приведены значения E_{max} , ν_{max} , $\Delta\nu_{1/2}$.
2. Установлены корреляционные зависимости $\nu_{(SO_2)}$, $\nu_{(NH)}$ с δ^* константами Тафта и с δ константами Гамметта для заместителей в кислотной и аминной составляющих молекул.
3. Данные по ИК - спектроскопии сопоставлены с результатами, полученными при изучении кинетики кислотного гидролиза незамещенных и N - замещенных алкансульфоанилидов.
4. Высказаны представления о конформационных особенностях алкансульфоанилидов по сравнению с арилсульфоанилидами.

Несмотря на большое число работ по изучению ИК -спектров сульфонилсодержащих соединений [1,2,3], сопоставление данных по ИК - спектроскопии с другими физико-химическими характеристиками как стационарных, так и реагирующих молекул, ограничено. Впервые, в работах [4,5,6] были сделаны попытки сопоставить характеристические частоты замещенных эфиров и анилидов сульфокислот с гидролитической устойчивостью этих веществ. Что касается алкансульфоанилидов, то спектроскопические исследования их еще более ограничены и в литературе приведены только для метансульфоанилида и метансульфо- N - метиланилида [7,8,9]. В более поздней ра-

боте [10] методами ИК, ПМР и масс - спектроскопии исследованы полярные эффекты заместителей в производных метансульфоанилида.

Целью настоящей работы является установление взаимосвязи между значениями характеристических частот SO_2 , NH , S^N групп в колебательных спектрах алкансульфоанилидов и особенностями их строения и реакционной способностью.

ЭКСПЕРИМЕНТАЛЬНАЯ ЧАСТЬ

Все изученные соединения получены взаимодействием соответствующих алкансульфохлоридов и аминов по известным методикам и тщательно очищены [11].

Инфракрасные спектры измерялись на спектрофотометре $\text{IR}-20$ с применением призм NaCl и LiF в 0,025-0,001 М растворах сухого четыреххлористого углерода при 25°C (для нитропроизводных из-за плохой растворимости применяли их насыщенные растворы). Погрешность определения $\pm 1 \text{ см}^{-1}$.

Полученные значения ν_{max} , ϵ_{max} и $\Delta\nu_{1/2}$ полос валентных колебаний SO_2 и NH групп приведены в таблицах I-4.

Параметры корреляционных уравнений рассчитывались методом наименьших квадратов при надежности 0.95.

РЕЗУЛЬТАТЫ И ОБСУЖДЕНИЕ

I. Характеристические колебания сульфонильной группы (таблица I).

Все изученные алкансульфоанилиды имеют интенсивное поглощение в интервале 1146-1173 см^{-1} и 1340-1358 см^{-1} , относящееся к симметричным (ν_s) и асимметричным (ν_{as}) валентным колебаниям сульфонильной группы [7,8,10]. Эти области поглощения близки к соответствующим интервалам частот поглощения SO_2 группы в арилсульфоанилидах [6,12]. Известно [2], что между валентными колебаниями SO_2 группы и колебаниями других групп в молекуле существует слабая связь, последнее приводит к линейной зависимости между симметричными и асимметричными колебаниями SO_2 группы в сульфосодержащих соединениях [12,13]. Такая зависимость в случае алкансульфоанилидов практически не наблюдается (рис. I).

Валентные колебания SO_2 группы алкансульфоанилидов (в CCl_4)

Таблица 1

№	Соединение	Симметричные				Асимметричные			
		$c = 0,025\text{M}$		$c = 0,001\text{M}$		$c = 0,025\text{M}$		$c = 0,001\text{M}$	
		$\nu_{max} : \epsilon_{max} : \Delta\nu_{1/2} : \nu_{max} : \epsilon_{max} : \Delta\nu_{1/2} : \nu_{max} : \epsilon_{max} : \Delta\nu_{1/2}$	$\nu_{max} : \epsilon_{max} : \Delta\nu_{1/2} : \nu_{max} : \epsilon_{max} : \Delta\nu_{1/2} : \nu_{max} : \epsilon_{max} : \Delta\nu_{1/2}$	$\nu_{max} : \epsilon_{max} : \Delta\nu_{1/2} : \nu_{max} : \epsilon_{max} : \Delta\nu_{1/2} : \nu_{max} : \epsilon_{max} : \Delta\nu_{1/2}$	$\nu_{max} : \epsilon_{max} : \Delta\nu_{1/2} : \nu_{max} : \epsilon_{max} : \Delta\nu_{1/2} : \nu_{max} : \epsilon_{max} : \Delta\nu_{1/2}$	$\nu_{max} : \epsilon_{max} : \Delta\nu_{1/2} : \nu_{max} : \epsilon_{max} : \Delta\nu_{1/2} : \nu_{max} : \epsilon_{max} : \Delta\nu_{1/2}$	$\nu_{max} : \epsilon_{max} : \Delta\nu_{1/2} : \nu_{max} : \epsilon_{max} : \Delta\nu_{1/2} : \nu_{max} : \epsilon_{max} : \Delta\nu_{1/2}$	$\nu_{max} : \epsilon_{max} : \Delta\nu_{1/2} : \nu_{max} : \epsilon_{max} : \Delta\nu_{1/2} : \nu_{max} : \epsilon_{max} : \Delta\nu_{1/2}$	$\nu_{max} : \epsilon_{max} : \Delta\nu_{1/2} : \nu_{max} : \epsilon_{max} : \Delta\nu_{1/2} : \nu_{max} : \epsilon_{max} : \Delta\nu_{1/2}$
I:		2	3 : 4 : 5 : 6 : 7 : 8 : 9 : 10 : II : 12 : 13 : 14	-	-	-	-	-	-
I.	$\text{CH}_3\text{SO}_2\text{NHC}_6\text{H}_5$	II58	-	-	-	-	1347	-	-
2.	$\text{CH}_3\text{SO}_2\text{N}(\text{CH}_3)\text{C}_6\text{H}_5$	II50	307	14	-	-	1331*	-	-
3.	$\text{C}_2\text{H}_5\text{SO}_2\text{NHC}_6\text{H}_5$	II53	837	21	II54	130	II	1356	749
4.	$\text{C}_2\text{H}_5\text{SO}_2\text{N}(\text{CH}_3)\text{C}_6\text{H}_5$	II47	363	13	II49	356	14	1346	254
5.	$\text{C}_3\text{H}_7\text{SO}_2\text{N}(\text{CH}_3)\text{C}_6\text{H}_5$	II47	369	14	II50	361	16	1321	107
6.	$\text{изо-C}_3\text{H}_7\text{SO}_2\text{NHC}_6\text{H}_5$	II46	640	10	-	-	1342	234	16
7.	цикло- $\text{C}_6\text{H}_{11}\text{SO}_2\text{NHC}_6\text{H}_5$	II51	815	10	II52	501	II	1336*	209
		II34*	73		II32*	46		1320	119
8.	$\text{C}_6\text{H}_5\text{CH}_2\text{SO}_2\text{NHC}_6\text{H}_5$	II56	487	12	II61	444	14	1352	223
		II30	148	14	II34	117		1350*	219
		II59*	457				1319	70	

Продолжение таблицы I

I:	2	3	4	5	6	7	8	9	10	11	12	13	14
9. $C_6H_5CH_2SO_2N(CH_3)C_6H_5$	II52	222	15	II52	241	18	1356	526	14	1356	512	15	
10. $C_2H_5SO_2N(C_3H_3)C_6H_5$	II29	161	15	II33	107	15	1336	87		1337	94		
II. $C_3H_5SO_2NHC_6H_4Cl - \Pi$	II55	630	13	II57	612	13	1358	630	15	1358	612	15	
	II55	708	12	II58	679	14	1338	340	20	1342	-	-	
										1347*			
12. $C_2H_5SO_2NHC_6H_4CH_3 - 0$	II53	640	12	II53	578	12	1335	363	18	1340	310	17	
13. $C_2H_5SO_2NHC_6H_4CH_3 - M$	II50	739	10	II50	501	10	1332	203	16	1335	-	-	
14. $C_2H_5SO_2NHC_6H_4CH_3 - \Pi$	II52	897	10	II53	651	10	1333	343	17	1340	199	20	
15. $C_2H_5SO_2NHC_6H_4OCH_3 - 0$	II56	698	10	II56	549	11	1348	549	18	1348	501	II	
16. $C_2H_5SO_2NHC_6H_4OCH_3 - M$	II48	1056	10	II50	1264	12	1334	427	19	1340	-	-	
17. $C_2H_5SO_2NHC_6H_4OCH_3 - \Pi$	II57	885	10	II58	594	13	1340	319	20	1347	216	23	
18. $C_2H_5SO_2NHC_6H_4NO_2 - 0$	II45	324		II47	329		1354	960	10	1353	700	12	
	II56	460	15	II58	461	15	1313	146		1317	142		
	II67	275	10	II69	269	10	1326	166		1328	169		
	II55	-	-				1344	-		-	-	-	
19. $C_2H_5SO_2NHC_6H_4NO_2 - M$	II57	-	-				1347	-		-	-	-	
20. $C_2H_5SO_2NHC_6H_4NO_2 - \Pi$	II54	749	12	II56	375	13	1336		19	1337	122	23	
21. $C_2H_5SO_2NHC_6H_4J - \Pi$	II53	561	10	II54	578	11	1335	184	18	1337	132	22	
22. $C_2H_5SO_2NHC_6H_4Br - \Pi$	II54	-	-	-	-		1345*			1345*	189	22	
23. $C_2H_5SO_2NHC_6H_4Cl - \Pi$	II54	-	-	-	-		1334	103	-	-	-	-	

Продолжение таблицы I

I:	2	:	3	:	4	:	5	:	6	:	7	:	8	:	9	:	10	:	II: 12	:	III: 13	:	IV: 14
24.	$C_2H_5SO_2N(CH_3)C_6H_4NO_2-\Pi$	II154	-	-	-	-	-	-	-	-	-	-	-	-	-	-	-	-	-	-	-	-	
25.	$CH_3SO_2NH_3^+NO_2^-$	II173	-	-	-	-	-	-	-	-	-	-	-	-	-	-	-	-	-	-	-	-	

* - плечо
 ε_{max} и $\Delta\nu_{1/2}$

не рассчитывались для насыщенных растворов нитропроизводных и при
 $c=0,001M$, если $\nu_{as}(SO_2)$ совпадает с областью поглощения растворителя
($d' = 19,97 \text{ см}$).

Валентные колебания N/H - группы алкансульфоанилидов (в CCl₄)

Таблица 2

№: сое: ди- не- ния:	Связанные						Свободные						$\sqrt{\mu_{\text{спектр}} - \mu_{\text{спектр. нн}}}$ $\sqrt{\mu_{\text{нн}}}/\text{своб.}$
	$c = 0,025 M$	$c = 0,001 M$	$c = 0,001 M$	$\nu_{max} : \varepsilon_{max} : \Delta\nu_{1/2}$	$\nu_{max} : \varepsilon_{max} : \Delta\nu_{1/2}$	$\nu_{max} : \varepsilon_{max} : \Delta\nu_{1/2}$	$c = 0,001 M$	$\nu_{max} : \varepsilon_{max} : \Delta\nu_{1/2}$	$\nu_{max} : \varepsilon_{max} : \Delta\nu_{1/2}$	$c = 0,001 M$	$\nu_{max} : \varepsilon_{max} : \Delta\nu_{1/2}$	$c = 0,001 M$	
I: 2 : 3 : 4 : 5 : 6 : 7 : 8 : 9 : 10 : II : 12 : III : 13 : IV	-	-	-	-	-	-	-	-	-	-	-	-	-
I. 3258	-	-	-	-	-	-	3388	-	-	-	-	-	3.84
3. 3256	I76	58	3253	48	60	3394	44	16	3394	91	34	4.07	
6. 3252	I79	50	3249	36	30	3397	49	16	3395	107	26	4.27	
7. 3254	I44	50	3252	35	55	3396	49	38	3398	84	31	4.21	
8. 3256	I41	70	3254	21	75	3383	85	30	3384	100	31	3.75	
II. 3252	I66	62	3258	48	70	3384	49	40	3387	109	35	3.90	
12. 3285	81	80 отсут.	-	-	-	3382	28	55	3420	25	10	2.89-3.6	

Продолжение таблицы 2

	I : 2 : 3 : 4 : 5 : 6 : 7 : 8 : 9 : 10 : 11 : 12 : 13 : 14
13.	3253 95 54 3255 55 48 3387 42 45 3395 62 35 4•13
14.	3256 151 60 3255 67 50 3392 47 48 3392 81 30 4•01
15.	3261 24 85 отсут. - 3377 32 40 3378 100 40 3•44
16.	3258 158 56 3258 45 60 3396 46 35 3397 95 36 4•06
17.	3262 148 67 3260 38 60 3392 48 36 3393 110 30 3•83
256	3294 119 75 3296 130 52 отсут. - - отсут. - -
19.	отсут. - - - - 3389 - - - -
20.	3220 - - - - 3393 - - - -
	3391 - - - - 3397 54 - - 5•04-5•21
21.	3254 148 66 3255 23 55 3398 38 45 3397 58 34 4•24
22.	3254 107 77 3255 47 62 3397 32 10 3397 81 32 4•21
23.	3255 - - - - 3397 - - 3397 - -
25.	3284 - - - - отсут. - - - -

* - плечо

** - найдено графически

Наибольшие отклонения от прямой испытывают частоты колебаний N - замещенных и 0 - нитропроизводных анилидов алкансульфокислот (табл. I, соединения № 2, 4, 5, 9, 25).

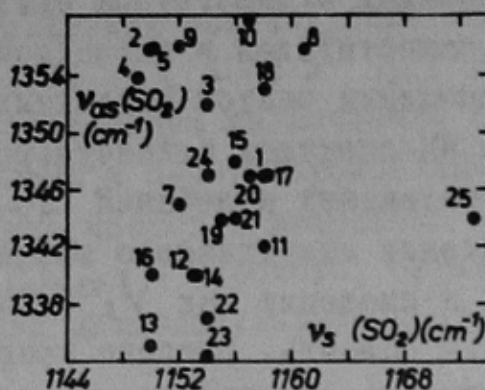


Рис. I. Зависимость между симметричными и асимметричными колебаниями SO_2 группы алкансульфоанилидов

Ранее Беллами отмечал [2], что полосы (ν_S и ν_{as}) сульфонильной группы имеют сложную структуру. В более поздних работах [6, 12] на основании спектроскопических исследований и изучения дипольных моментов дано объяснение расщеплению полос SO_2 группы в спектрах арилсульфоанилидов существованием ротационной изомерии, обусловленной различным положением SO_2 группы к плоскости аминного кольца.

В алкансульфоанилидах (табл. I) расщепление полос валентных колебаний сульфогруппы наблюдается лишь в отдельных случаях (соединения № 7, 8, 9, 18). Это наводит на мысль о том, что в алкансульфоанилидах внутреннее вращение вокруг связи $S-N$ более затруднено по сравнению с арилсульфоанилидами и поэтому ротационные изомеры отсутствуют. Наличие последних можно предположить лишь для соединений № 7, 8, 9, 18. По-видимому, возможность существования ротационных изомеров для указанных соединений можно объяснить пространственными затруднениями вращения за счет введения в кислотную составляющую циклогексильной или бензильной групп, либо в аминную часть - нитрогруппы в орто-положение.

Мы полагаем, что дополнительным подтверждением отсутствия ротационной изомерии (за счет различного положения плоскости SO_2 группы по отношению к аминному кольцу) у алкансульфоанилидов могут служить данные работы [14], по-

казывающие постоянство дипольного момента метансульфоанилида при изменении температуры.

Если рассмотреть влияние заместителей на колебания SO_2 группы, то в арилсульфоанилидах сульфогруппа оказывается чувствительной к влиянию заместителей в кислотной составляющей, что проявляется на смещении частот валентных колебаний этой группы [12]. Анализ ИК-спектров алкансульфоанилидов ($ALK SO_2 NHAr$) в области валентных колебаний SO_2 группы показывает также, что увеличение индуктивного эффекта кислотной составляющей приводит к смещению как $\nu_s (SO_2)$, так и $\nu_{as} (SO_2)$ в низкочастотную область. Влияние природы кислотной составляющей на смещение частот валентных колебаний SO_2 группы можно представить уравнениями:

$$\nu_s (SO_2) = 1158 + 59 \delta, * \quad r = 0.97; \quad s = 1.4$$

$$\nu_{as} (SO_2) = 1347 + 30 \delta, * \quad r = 0.94; \quad s = 2.3$$

Однако, не наблюдается подобной закономерности во влиянии заместителей в аминной составляющей производных этансульфоанилида на частоты колебания сульфогруппы, что согласуется с литературными данными по замещенным метан - [10], и бензолсульфоанилидам [12].

Влияние N -замещения в алкансульфоанилидах проявляется в перераспределении интенсивностей полос поглощения между асимметричными и симметричными колебаниями SO_2 группы в направлении усиления асимметричных колебаний.

Таблица 3

Сопоставление значений ϵ_{max} для ν_s и ν_{as} сульфонильной группы незамещенных и N -замещенных алкансульфоанилидов ($c=0.025M$)

№ :	Соединение	$\epsilon_{max(s)} : \epsilon_{max(as)}$		$\frac{\epsilon_{max(s)}}{\epsilon_{max(as)}}$
		a	b	
1	$CH_3SO_2NHC_6H_5$	a	b	$a/b > 1$
2	$CH_3SO_2N(CH_3)C_6H_5$	307	749	0.4
3	$C_2H_5SO_2NHC_6H_5$	837	254	3.3
4	$C_2H_5SO_2N(CH_3)C_6H_5$	363	508	0.7
5	$C_2H_5SO_2N(C_3H_3)C_6H_5$	630	630	1
6	$C_6H_5CH_2SO_2NHC_6H_5$	325	149	2.2
7	$C_6H_5CH_2SO_2N(CH_3)C_6H_5$	222	526	0.4

Для соединения I соотношение интенсивностей полос ν_s и ν_{as} (SO_2) определено качественно по спектру насыщенного раствора.

При увеличении концентрации алкансульфоанилидов наблюдается смещение ν_s (SO_2) и ν_{as} (SO_2) в низкочастотную область с одновременным увеличением E_{max} , за исключением *N*-замещенных и о-нитропроизводных (табл. I). Эти явления – смещение частот и изменение молярных коэффициентов поглощения E_{max} – вероятно, отражают участие сульфогруппы в образовании межмолекулярной водородной связи [12].

2. Валентные колебания иминогруппы (таблица 2).

При концентрации 0.025M алкансульфоанилиды имеют две полосы поглощения в области валентных колебаний иминогруппы в интервалах 3252 – 3294 см^{-1} и 3377 – 3397 см^{-1} . Снижение концентрации вещества от 0.025M до 0.001M в четыреххлористом углероде приводит к возрастанию интенсивности второй полосы и снижению интенсивности или даже исчезновению первой (низкочастотной) полосы (соединения № I2, I5, табл. 2). По-видимому, высокочастотную полосу поглощения следует отнести к колебанию связанной, а низкочастотную – к колебанию свободной иминогруппы [7, 8, 10], подобно арилсульфоанилидам [12]. Появление колебаний связанной иминогруппы обусловлено образованием комплексов вида $SO \dots NH$ за счет межмолекулярной водородной связи [7].

В ИК – спектрах соединений I8 и 25, нитрогруппа которых, находясь в орто-положении, способна к образованию внутримолекулярной водородной связи, как в концентрированных, так и в разбавленных растворах, полоса в области 3380 см^{-1} отсутствует.

С увеличением индуктивного эффекта кислотной составляющей алкансульфоанилидов частоты колебаний свободной аминогруппы возрастают (табл. 2). Зависимость между $\nu_{(NH)}$ _{своб.} и β^* константами Тафта может быть представлена корреляционным уравнением:

$$\nu_{(NH)} \text{своб.} = 3390 - 36\beta^*, \quad r = 0.98; \quad s = 1.4$$

Влияние *m*- и *p*-заместителей в аминной части этансульфо-

анилидов на эти частоты описывается уравнением:

$$\nu_{(NH) \text{своб.}} = 3395 - 12\beta, \quad r = 0.98; \quad s = 0.49$$

В ацетонитриле по данным работы [2] эта зависимость имеет вид:

$$\nu_{(NH) \text{своб.}} = 3271 - 12.3\beta, \quad r = 0.967; \quad s = 1.7$$

Сравнение величин

$$\frac{\nu_{(NH) \text{своб.}} - \nu_{(NH) \text{связ.}}}{\nu_{(NH) \text{своб.}}} \cdot 100\%$$

(табл. 2), характеризующих протонодонорную способность иминогруппы [12], показывает, что уменьшение индуктивного эффекта кислотной составляющей, а также увеличение электронодонорных свойств заместителей в амине способствует снижению кислотных свойств изучаемой группы. Этот вывод согласуется с данным по кислотным свойствам (pK_a) п- и м-замещенных этансульфоанилидов и противоположен влиянию заместителей в кислотной части [15].

Спектроскопические исследования полос валентных колебаний иминогруппы сульфоанилидов $\nu_{(NH) \text{своб.}}$ обнаруживают или четкую двойную структуру или ясную асимметрию (соединения № 13, 19, 20 и № 8, 11, 15 и т.д., табл. 2) [7, 16]. Как для анилидов арил-, так и алкансульфокислот такая асимметрия или расщепление полосы колебания свободной иминогруппы объясняется [16] присутствием двух ротационных изомеров, обусловленных различным положением связи $N-H$ по отношению к кольцу аминной части молекулы. При копланарном их расположении, в противоположность перпендикулярному, наблюдается большее взаимодействие иминогруппы с заместителями, находящимися в ароматическом кольце амина. Первому расположению отвечает низкочастотная полоса, второму - высокочастотная.

3. Валентные колебания связи $S-N$ (табл. 4).

Литературные данные об отнесении полосы валентных колебаний связи $S-N$ разноречивы. Большинство авторов относят к этому колебанию полосу в области 900 см^{-1} [6, 8, 9, 17], которая, как показали наши данные, наиболее чувствительна

к N -замещению (табл.4) и смещается в низкочастотную область. Этот сдвиг в низкочастотную область спектра на $30\text{-}50 \text{ см}^{-1}$ при N -замещении свидетельствуют о снижении кратности связи $S-N$, т.е. возрастании реакционной способности алкансульфоанилидов, подобно арилсульфоанилидам [6]. Действительно, данные табл. 4 подтверждают повышение реакционной способности N -замещенных алкансульфоанилидов по сравнению с незамещенными в реакциях кислотного гидролиза (50% H_2SO_4 , 120°C).

Таблица 4

Частоты валентных колебаний связи $S-N$ и константы кислотного гидролиза незамещенных и N -замещенных алкансульфоанилидов

№	Соединение	$\nu_{\max}(\text{см}^{-1})$	$k_{\text{набл.}} \cdot 10^4 (\text{сек}^{-1})$
1	$\text{CH}_3\text{SO}_2N\text{HC}_6\text{H}_5$	920	-
2	$\text{CH}_3\text{SO}_2N(\text{CH}_3)\text{C}_6\text{H}_5$	873	-
3	$\text{C}_2\text{H}_5\text{SO}_2N\text{HC}_6\text{H}_5$	910	0.47
4	$\text{C}_2\text{H}_5\text{SO}_2N(\text{CH}_3)\text{C}_6\text{H}_5$	877	3.1
5	$\text{C}_2\text{H}_5\text{SO}_2N(\text{CH}_3)\text{C}_6\text{H}_5$	855	-
6	$\text{C}_6\text{H}_5\text{CH}_2\text{SO}_2N\text{HC}_6\text{H}_5$	937	0.74
7	$\text{C}_6\text{H}_5\text{CH}_2\text{SO}_2N(\text{CH}_3)\text{C}_6\text{H}_5$	895	6.5

Л И Т Е Р А Т У Р А

1. Л.Беллами, Инфракрасные спектры сложных молекул, М., 531 (1963).
2. Л.Беллами, Новые данные по ИК-спектрам сложных молекул, "Мир", М., 236 (1971).
3. К.Наканиси, Инфракрасные спектры и строение органических соединений, М., (1965).
4. Р.В.Визгерт, И.И.Михлина, А.Ф.Мальнев, Укр. физ.ж. 8, № II, II99 (1963).
5. Р.В.Визгерт, И.И.Михлина, А.Ф.Мальnev, Изв. АН СССР, 27, 969 (1963).
6. В.Л.Левашова, Кандидат.диссерт., 1970, г.Львов.
7. J.N.Baxter, J.Cumerman-Craig, I.B.Willis, J.Chem.Soc, 669 669, (1955).
8. A.R.Katritzky and at.el., J.Chem. Soc., № II, 4497 (1960) idid , 4I55 (1958).
9. Tanaka Jukiki, Tanaka Joshimasa, Chem and Pharm. Bull, 13, № 7, 858 (1965).
10. V.Bekarek, H.Kalova and at. el., Collect. Czech.Chem. Com, 39, № 8, 2239 (1974).
- II. Р.В.Визгерт, Д.Г.Скрыпник, М.П.Стародубцева, Н.Н.Максименко, С.Г.Шейко, Рукопись депонирована в ВИНТИ, № I237 от 15 апреля 1976 г.
- I2. А.Е.Луцкий, И.К.Ищенко, ЖХХ, 38, (C), № 7, I6I8, I629, I635 (1968).
- I3. L.J.Bellamy, R.Z.Williams, J.Chem.Soc., № 2, 863 (1957).
- I4. P.Virtanen, J.Olavi, R.Pikko, Suom.Kem., 44 B №1, 18 (1971).
- I5. Р.В.Визгерт, Н.Г.Корженевская, Ю.Г.Скрыпник, М.П.Стародубцева, Н.П.Бигашева, РСОС, 13, №I(45) 1976 .
- I6. R.Köning, Spectrochim. Acta, 24 A, № 3, 23I (1968).
- I7. T.Momose, J.Veda, T.Shoji, Chem and Pharm.Bull, № 7, № 6, 734 (1959).